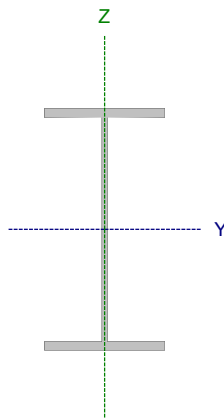


Barra N75/N76

Perfil: IPE 270 Material: Acero (S275)							
	Nudos		Longitud (m)	Características mecánicas			
	Inicial	Final		Área (cm²)	I _y ⁽¹⁾ (cm4)	I _z ⁽¹⁾ (cm4)	I _t ⁽²⁾ (cm4)
	N75	N76	5.000	45.90	5790.00	420.00	15.90
	Notas:						
	⁽¹⁾ Inercia respecto al eje indicado						
	⁽²⁾ Momento de inercia a torsión uniforme						
		Pandeo		Pandeo lateral			
		Plano XY	Plano XZ	Ala sup.	Ala inf.		
	β	1.00	1.00	1.00	0.00		
	L _K	5.000	5.000	5.000	0.000		
	C _m	1.000	1.000	1.000	1.000		
C ₁	-			1.000			
Notación:							
β: Coeficiente de pandeo							
L _K : Longitud de pandeo (m)							
C _m : Coeficiente de momentos							
C ₁ : Factor de modificación para el momento crítico							

Barra	COMPROBACIONES (CTE DB SE-A)														Estado	
	$\bar{\lambda}$	λ_{w0}	N _t	N _c	M _t	M _z	V _z	V _t	M _t V _z	M _t V _t	NM _t M _z	NM _t M _t V _z	M _t	M _t V _z	M _t V _t	
5/N76	$\bar{\lambda} < 2.0$ Cumple	x: 0.313 m $\lambda_{w0} \leq \lambda_{w,max}$ Cumple	$\eta < 0.1$	$\eta < 0.1$	x: 2.5 m $\eta = 54.5$	M _{ed} = 0.00 N.P. ⁽¹⁾	x: 0 m $\eta = 7.9$	V _{ed} = 0.00 N.P. ⁽²⁾	x: 0.313 m $\eta < 0.1$	N.P. ⁽³⁾	x: 2.5 m $\eta = 54.6$	x: 0.313 m $\eta < 0.1$	M _{ed} = 0.00 N.P. ⁽⁴⁾	N.P. ⁽⁵⁾	N.P. ⁽⁵⁾	CUMPLE $\eta = 54.6$
<p>Notación:</p> <p>$\bar{\lambda}$: Limitación de esbeltez</p> <p>λ_{w0}: Abolladura del alma inducida por el ala comprimida</p> <p>N_t: Resistencia a tracción</p> <p>N_c: Resistencia a compresión</p> <p>M_t: Resistencia a flexión eje Y</p> <p>M_z: Resistencia a flexión eje Z</p> <p>V_t: Resistencia a corte Z</p> <p>V_z: Resistencia a corte Y</p> <p>M_tV_z: Resistencia a momento flector Y y fuerza cortante Z combinados</p> <p>M_tV_t: Resistencia a momento flector Z y fuerza cortante Y combinados</p> <p>NM_tM_z: Resistencia a flexión y axil combinados</p> <p>NM_tM_tV_z: Resistencia a flexión, axil y cortante combinados</p> <p>M_t: Resistencia a torsión</p> <p>M_tV_z: Resistencia a cortante Z y momento torsor combinados</p> <p>M_tV_t: Resistencia a cortante Y y momento torsor combinados</p> <p>x: Distancia al origen de la barra</p> <p>η: Coeficiente de aprovechamiento (%)</p> <p>N.P.: No procede</p> <p>Comprobaciones que no proceden (N.P.):</p> <p>(1) La comprobación no procede, ya que no hay momento flector.</p> <p>(2) La comprobación no procede, ya que no hay esfuerzo cortante.</p> <p>(3) No hay interacción entre momento flector y esfuerzo cortante para ninguna combinación. Por lo tanto, la comprobación no procede.</p> <p>(4) La comprobación no procede, ya que no hay momento torsor.</p> <p>(5) No hay interacción entre momento torsor y esfuerzo cortante para ninguna combinación. Por lo tanto, la comprobación no procede.</p>																

Producido por un versión educativa de CYPE

Limitación de esbeltez (CTE DB SE-A, Artículos 6.3.1 y 6.3.2.1 - Tabla 6.3)

La esbeltez reducida $\bar{\lambda}$ de las barras comprimidas debe ser inferior al valor 2.0.

$$\bar{\lambda} = \sqrt{\frac{A \cdot f_y}{N_{cr}}}$$

$$\bar{\lambda} : \underline{1.90} \quad \checkmark$$

Donde:

Clase: Clase de la sección, según la capacidad de deformación y de desarrollo de la resistencia plástica de los elementos planos comprimidos de una sección.

$$\text{Clase} : \underline{2}$$

A: Área de la sección bruta para las secciones de clase 1, 2 y 3.

$$\mathbf{A} : \underline{45.90} \text{ cm}^2$$

f_y : Límite elástico. (CTE DB SE-A, Tabla 4.1)

$$\mathbf{f_y} : \underline{275.00} \text{ MPa}$$

N_{cr} : Axil crítico de pandeo elástico.

$$\mathbf{N_{cr}} : \underline{348.20} \text{ kN}$$

El axil crítico de pandeo elástico N_{cr} es el menor de los valores obtenidos en a), b) y c):

a) Axil crítico elástico de pandeo por flexión respecto al eje Y.

$$\mathbf{N_{cr,y}} : \underline{4800.18} \text{ kN}$$

$$\mathbf{N_{cr,y}} = \frac{\pi^2 \cdot E \cdot I_y}{L_{ky}^2}$$

b) Axil crítico elástico de pandeo por flexión respecto al eje Z.

$$\mathbf{N_{cr,z}} : \underline{348.20} \text{ kN}$$

$$\mathbf{N_{cr,z}} = \frac{\pi^2 \cdot E \cdot I_z}{L_{kz}^2}$$

c) Axil crítico elástico de pandeo por torsión.

$$\mathbf{N_{cr,T}} : \underline{1384.54} \text{ kN}$$

$$\mathbf{N_{cr,T}} = \frac{1}{i_0^2} \cdot \left[G \cdot I_t + \frac{\pi^2 \cdot E \cdot I_w}{L_{kt}^2} \right]$$

Donde:

I_y : Momento de inercia de la sección bruta, respecto al eje Y.

$$\mathbf{I_y} : \underline{5790.00} \text{ cm}^4$$

I_z : Momento de inercia de la sección bruta, respecto al eje Z.

$$\mathbf{I_z} : \underline{420.00} \text{ cm}^4$$

I_t : Momento de inercia a torsión uniforme.

$$\mathbf{I_t} : \underline{15.90} \text{ cm}^4$$

I_w : Constante de alabeo de la sección.

$$\mathbf{I_w} : \underline{70600.00} \text{ cm}^6$$

E: Módulo de elasticidad.

$$\mathbf{E} : \underline{210000} \text{ MPa}$$

G: Módulo de elasticidad transversal.

$$\mathbf{G} : \underline{81000} \text{ MPa}$$

L_{ky} : Longitud efectiva de pandeo por flexión, respecto al eje Y.

$$\mathbf{L_{ky}} : \underline{5.000} \text{ m}$$

L_{kz} : Longitud efectiva de pandeo por flexión, respecto al eje Z.

$$\mathbf{L_{kz}} : \underline{5.000} \text{ m}$$

L_{kt} : Longitud efectiva de pandeo por torsión.

$$\mathbf{L_{kt}} : \underline{5.000} \text{ m}$$

i_0 : Radio de giro polar de la sección bruta, respecto al centro de torsión.

$$\mathbf{i_0} : \underline{11.63} \text{ cm}$$

$$\mathbf{i_0} = (i_y^2 + i_z^2 + y_0^2 + z_0^2)^{0.5}$$

Siendo:

i_y, i_z : Radios de giro de la sección bruta, respecto a los ejes principales de inercia Y y Z.

$$\mathbf{i_y} : \underline{11.23} \text{ cm}$$

$$\mathbf{i_z} : \underline{3.02} \text{ cm}$$

y_0, z_0 : Coordenadas del centro de torsión en la dirección de los ejes principales Y y Z, respectivamente, relativas al centro de gravedad de la sección.

$$\mathbf{y_0} : \underline{0.00} \text{ mm}$$

$$\mathbf{z_0} : \underline{0.00} \text{ mm}$$

Abolladura del alma inducida por el ala comprimida (Criterio de CYPE Ingenieros, basado en: Eurocódigo 3 EN 1993-1-5: 2006, Artículo 8)

Se debe satisfacer:

$$\frac{h_w}{t_w} \leq k \frac{E}{f_{yf}} \sqrt{\frac{A_w}{A_{fc,ef}}}$$

$$37.82 \leq 250.57 \quad \checkmark$$

Donde:

h_w : Altura del alma.

t_w : Espesor del alma.

A_w : Área del alma.

$A_{fc,ef}$: Área reducida del ala comprimida.

k : Coeficiente que depende de la clase de la sección.

E : Módulo de elasticidad.

f_{yf} : Límite elástico del acero del ala comprimida.

Siendo:

$$f_{yf} = f_y$$

$$h_w : \underline{249.60} \text{ mm}$$

$$t_w : \underline{6.60} \text{ mm}$$

$$A_w : \underline{16.47} \text{ cm}^2$$

$$A_{fc,ef} : \underline{13.77} \text{ cm}^2$$

$$k : \underline{0.30}$$

$$E : \underline{210000} \text{ MPa}$$

$$f_{yf} : \underline{275.00} \text{ MPa}$$

Resistencia a tracción (CTE DB SE-A, Artículo 6.2.3)

Se debe satisfacer:

$$\eta = \frac{N_{t,Ed}}{N_{t,Rd}} \leq 1$$

$$\eta < \underline{0.001} \quad \checkmark$$

El esfuerzo solicitante de cálculo pésimo se produce para la combinación de acciones 1.35·PP+0.8·CM+1.5·V(180°)H3+0.75·N(EI).

$N_{t,Ed}$: Axil de tracción solicitante de cálculo pésimo.

$$N_{t,Ed} : \underline{0.18} \text{ kN}$$

La resistencia de cálculo a tracción $N_{t,Rd}$ viene dada por:

$$N_{t,Rd} = A \cdot f_{yd}$$

$$N_{t,Rd} : \underline{1202.14} \text{ kN}$$

Donde:

A : Área bruta de la sección transversal de la barra.

$$A : \underline{45.90} \text{ cm}^2$$

f_{yd} : Resistencia de cálculo del acero.

$$f_{yd} : \underline{261.90} \text{ MPa}$$

$$f_{yd} = f_y / \gamma_{M0}$$

Siendo:

f_y : Límite elástico. (CTE DB SE-A, Tabla 4.1)

$$f_y : \underline{275.00} \text{ MPa}$$

γ_{M0} : Coeficiente parcial de seguridad del material.

$$\gamma_{M0} : \underline{1.05}$$

Resistencia a compresión (CTE DB SE-A, Artículo 6.2.5)

Se debe satisfacer:

$$\eta = \frac{N_{c,Ed}}{N_{c,Rd}} \leq 1$$

$$\eta < \underline{0.001} \quad \checkmark$$

$$\eta = \frac{N_{c,Ed}}{N_{b,Rd}} \leq 1$$

$$\eta < \underline{0.001} \quad \checkmark$$

El esfuerzo solicitante de cálculo pésimo se produce para la combinación de acciones 0.8·PP+0.8·CM+1.5·V(90°)H2.

$N_{c,Ed}$: Axil de compresión solicitante de cálculo pésimo.

$$N_{c,Ed} : \underline{0.09} \text{ kN}$$

La resistencia de cálculo a compresión $N_{c,Rd}$ viene dada por:

$$N_{c,Rd} = A \cdot f_{yd}$$

$$N_{c,Rd} : \underline{1202.14} \text{ kN}$$

Donde:

Clase: Clase de la sección, según la capacidad de deformación y de desarrollo de la resistencia plástica de los elementos planos comprimidos de una sección.

$$\text{Clase} : \underline{2}$$

A: Área de la sección bruta para las secciones de clase 1, 2 y 3.

$$A : \underline{45.90} \text{ cm}^2$$

f_{yd}: Resistencia de cálculo del acero.

$$f_{yd} : \underline{261.90} \text{ MPa}$$

$$f_{yd} = f_y / \gamma_{M0}$$

Siendo:

f_y: Límite elástico. (CTE DB SE-A, Tabla 4.1)

$$f_y : \underline{275.00} \text{ MPa}$$

γ_{M0}: Coeficiente parcial de seguridad del material.

$$\gamma_{M0} : \underline{1.05}$$

Resistencia a pandeo: (CTE DB SE-A, Artículo 6.3.2)

La resistencia de cálculo a pandeo **N_{b,Rd}** en una barra comprimida viene dada por:

$$N_{b,Rd} = \chi \cdot A \cdot f_{yd}$$

$$N_{b,Rd} : \underline{274.71} \text{ kN}$$

Donde:

A: Área de la sección bruta para las secciones de clase 1, 2 y 3.

$$A : \underline{45.90} \text{ cm}^2$$

f_{yd}: Resistencia de cálculo del acero.

$$f_{yd} : \underline{261.90} \text{ MPa}$$

$$f_{yd} = f_y / \gamma_{M1}$$

Siendo:

f_y: Límite elástico. (CTE DB SE-A, Tabla 4.1)

$$f_y : \underline{275.00} \text{ MPa}$$

γ_{M1}: Coeficiente parcial de seguridad del material.

$$\gamma_{M1} : \underline{1.05}$$

χ: Coeficiente de reducción por pandeo.

$$\chi = \frac{1}{\Phi + \sqrt{\Phi^2 - (\bar{\lambda})^2}} \leq 1$$

$$\chi_y : \underline{0.92}$$

$$\chi_z : \underline{0.23}$$

$$\chi_T : \underline{0.63}$$

Siendo:

$$\Phi = 0.5 \cdot \left[1 + \alpha \cdot (\bar{\lambda} - 0.2) + (\bar{\lambda})^2 \right]$$

$$\phi_y : \underline{0.66}$$

$$\phi_z : \underline{2.60}$$

$$\phi_T : \underline{1.08}$$

α: Coeficiente de imperfección elástica.

$$\alpha_y : \underline{0.21}$$

$$\alpha_z : \underline{0.34}$$

$$\alpha_T : \underline{0.34}$$

λ̄: Esbeltez reducida.

$$\bar{\lambda} = \sqrt{\frac{A \cdot f_y}{N_{cr}}}$$

$$\bar{\lambda}_y : \underline{0.51}$$

$$\bar{\lambda}_z : \underline{1.90}$$

$$\bar{\lambda}_T : \underline{0.95}$$

N_{cr}: Axil crítico elástico de pandeo, obtenido como el menor de los siguientes valores:

$$N_{cr} : \underline{348.20} \text{ kN}$$

N_{cr,y}: Axil crítico elástico de pandeo por flexión respecto al eje Y.

$$N_{cr,y} : \underline{4800.18} \text{ kN}$$

N_{cr,z}: Axil crítico elástico de pandeo por flexión respecto al eje Z.

$$N_{cr,z} : \underline{348.20} \text{ kN}$$

N_{cr,T}: Axil crítico elástico de pandeo por torsión.

$$N_{cr,T} : \underline{1384.54} \text{ kN}$$

Resistencia a flexión eje Y (CTE DB SE-A, Artículo 6.2.6)

Se debe satisfacer:

$$\eta = \frac{M_{Ed}}{M_{c,Rd}} \leq 1$$

$$\eta : \underline{0.261} \checkmark$$

$$\eta = \frac{M_{Ed}}{M_{b,Rd}} \leq 1$$

$$\eta : \underline{0.545} \quad \checkmark$$

Para flexión positiva:

El esfuerzo solicitante de cálculo pésimo se produce en un punto situado a una distancia de 2.500 m del nudo N75, para la combinación de acciones 1.35·PP+1.35·CM.

M_{Ed}^+ : Momento flector solicitante de cálculo pésimo.

$$M_{Ed}^+ : \underline{33.13} \text{ kN}\cdot\text{m}$$

Para flexión negativa:

M_{Ed}^- : Momento flector solicitante de cálculo pésimo.

$$M_{Ed}^- : \underline{0.00} \text{ kN}\cdot\text{m}$$

El momento flector resistente de cálculo $M_{c,Rd}$ viene dado por:

$$M_{c,Rd} = W_{pl,y} \cdot f_{yd}$$

$$M_{c,Rd} : \underline{126.76} \text{ kN}\cdot\text{m}$$

Donde:

Clase: Clase de la sección, según la capacidad de deformación y de desarrollo de la resistencia plástica de los elementos planos de una sección a flexión simple.

$$\text{Clase} : \underline{1}$$

$W_{pl,y}$: Módulo resistente plástico correspondiente a la fibra con mayor tensión, para las secciones de clase 1 y 2.

$$W_{pl,y} : \underline{484.00} \text{ cm}^3$$

f_{yd} : Resistencia de cálculo del acero.

$$f_{yd} : \underline{261.90} \text{ MPa}$$

$$f_{yd} = f_y / \gamma_{M0}$$

Siendo:

f_y : Límite elástico. (CTE DB SE-A, Tabla 4.1)

$$f_y : \underline{275.00} \text{ MPa}$$

γ_{M0} : Coeficiente parcial de seguridad del material.

$$\gamma_{M0} : \underline{1.05}$$

Resistencia a pandeo lateral: (CTE DB SE-A, Artículo 6.3.3.2)

El momento flector resistente de cálculo $M_{b,Rd}$ viene dado por:

$$M_{b,Rd}^+ = \chi_{LT} \cdot W_{pl,y}^+ \cdot f_{yd}$$

$$M_{b,Rd}^+ : \underline{60.76} \text{ kN}\cdot\text{m}$$

$$M_{b,Rd}^- = \chi_{LT} \cdot W_{pl,y}^- \cdot f_{yd}$$

$$M_{b,Rd}^- : \underline{126.76} \text{ kN}\cdot\text{m}$$

Donde:

$W_{pl,y}$: Módulo resistente plástico correspondiente a la fibra con mayor tensión, para las secciones de clase 1 y 2.

$$W_{pl,y} : \underline{484.00} \text{ cm}^3$$

f_{yd} : Resistencia de cálculo del acero.

$$f_{yd} : \underline{261.90} \text{ MPa}$$

$$f_{yd} = f_y / \gamma_{M1}$$

Siendo:

f_y : Límite elástico. (CTE DB SE-A, Tabla 4.1)

$$f_y : \underline{275.00} \text{ MPa}$$

γ_{M1} : Coeficiente parcial de seguridad del material.

$$\gamma_{M1} : \underline{1.05}$$

χ_{LT} : Factor de reducción por pandeo lateral.

$$\chi_{LT} = \frac{1}{\Phi_{LT} + \sqrt{\Phi_{LT}^2 - \bar{\lambda}_{LT}^2}} \leq 1$$

$$\chi_{LT}^+ : \underline{0.48}$$

$$\chi_{LT}^- : \underline{1.00}$$

Siendo:

$$\Phi_{LT} = 0.5 \cdot \left[1 + \alpha_{LT} \cdot (\bar{\lambda}_{LT} - 0.2) + \bar{\lambda}_{LT}^2 \right]$$

$$\phi_{LT}^+ : \underline{1.44}$$

$$\phi_{LT}^- : \underline{0.00}$$

α_{LT} : Coeficiente de imperfección elástica.

$$\alpha_{LT} : \underline{0.21}$$

$\bar{\lambda}_{LT}$: Esbeltez reducida.

$$\bar{\lambda}_{LT}^+ = \sqrt{\frac{W_{pl,y}^+ \cdot f_y}{M_{cr}}}$$

$$\bar{\lambda}_{LT}^+ : \underline{1.28}$$

$$\bar{\lambda}_{LT}^- = \sqrt{\frac{W_{pl,y}^- \cdot f_y}{M_{cr}}}$$

$$\bar{\lambda}_{LT}^- : \underline{0.00}$$

M_{cr} : Momento crítico elástico de pandeo lateral.

$$M_{cr}^+ : \underline{80.71} \text{ kN}\cdot\text{m}$$

$$M_{cr}^- : \underline{\infty}$$

El momento crítico elástico de pandeo lateral M_{cr} se determina según la teoría de la elasticidad:

$$M_{cr} = \sqrt{M_{LTV}^2 + M_{LTw}^2}$$

Siendo:

M_{LTV} : Componente que representa la resistencia por torsión uniforme de la barra.

$$M_{LTV} = C_1 \cdot \frac{\pi}{L_c} \cdot \sqrt{G \cdot I_t \cdot E \cdot I_z}$$

$$M_{LTV}^+ : \underline{66.97} \text{ kN}\cdot\text{m}$$

$$M_{LTV}^- : \underline{\infty}$$

M_{LTw} : Componente que representa la resistencia por torsión no uniforme de la barra.

$$M_{LTw} = W_{el,y} \cdot \frac{\pi^2 \cdot E}{L_c^2} \cdot C_1 \cdot i_{f,z}^2$$

$$M_{LTw}^+ : \underline{45.05} \text{ kN}\cdot\text{m}$$

$$M_{LTw}^- : \underline{\infty}$$

Siendo:

$W_{el,y}$: Módulo resistente elástico de la sección bruta, obtenido para la fibra más comprimida.

$$W_{el,y} : \underline{428.89} \text{ cm}^3$$

I_z : Momento de inercia de la sección bruta, respecto al eje Z.

$$I_z : \underline{420.00} \text{ cm}^4$$

I_t : Momento de inercia a torsión uniforme.

$$I_t : \underline{15.90} \text{ cm}^4$$

E : Módulo de elasticidad.

$$E : \underline{210000} \text{ MPa}$$

G : Módulo de elasticidad transversal.

$$G : \underline{81000} \text{ MPa}$$

L_c^+ : Longitud efectiva de pandeo lateral del ala superior.

$$L_c^+ : \underline{5.000} \text{ m}$$

L_c^- : Longitud efectiva de pandeo lateral del ala inferior.

$$L_c^- : \underline{0.000} \text{ m}$$

C_1 : Factor que depende de las condiciones de apoyo y de la forma de la ley de momentos flectores sobre la barra.

$$C_1 : \underline{1.00}$$

$i_{f,z}$: Radio de giro, respecto al eje de menor inercia de la sección, del soporte formado por el ala comprimida y la tercera parte de la zona comprimida del alma adyacente al ala comprimida.

$$i_{f,z}^+ : \underline{3.56} \text{ cm}$$

$$i_{f,z}^- : \underline{3.56} \text{ cm}$$

Procedido por una versión educativa de CYPE

Resistencia a flexión eje Z (CTE DB SE-A, Artículo 6.2.6)

La comprobación no procede, ya que no hay momento flector.

Resistencia a corte Z (CTE DB SE-A, Artículo 6.2.4)

Se debe satisfacer:

$$\eta = \frac{V_{Ed}}{V_{c,Rd}} \leq 1$$

$$\eta : \underline{0.079} \quad \checkmark$$

El esfuerzo solicitante de cálculo pésimo se produce en el nudo N75, para la combinación de acciones 1.35·PP+1.35·CM.

V_{Ed} : Esfuerzo cortante solicitante de cálculo pésimo.

$$V_{Ed} : \underline{26.51} \text{ kN}$$

El esfuerzo cortante resistente de cálculo $V_{c,Rd}$ viene dado por:

$$V_{c,Rd} = A_v \cdot \frac{f_{yd}}{\sqrt{3}}$$

$$V_{c,Rd} : \underline{334.07} \text{ kN}$$

Donde:

A_v : Área transversal a cortante.

$$A_v : \underline{22.09} \text{ cm}^2$$

$$A_v = h \cdot t_w$$

Siendo:

h : Canto de la sección.

$$h : \underline{270.00} \text{ mm}$$

t_w : Espesor del alma.

$$t_w : \underline{6.60} \text{ mm}$$

f_{yd} : Resistencia de cálculo del acero.

$$f_{yd} : \underline{261.90} \text{ MPa}$$

$$f_{yd} = f_y / \gamma_{M0}$$

Siendo:

f_y : Límite elástico. (CTE DB SE-A, Tabla 4.1)

$$f_y : \underline{275.00} \text{ MPa}$$

γ_{M0} : Coeficiente parcial de seguridad del material.

$$\gamma_{M0} : \underline{1.05}$$

Abolladura por cortante del alma: (CTE DB SE-A, Artículo 6.3.3.4)

Aunque no se han dispuesto rigidizadores transversales, no es necesario comprobar la resistencia a la abolladura del alma, puesto que se cumple:

$$\frac{d}{t_w} < 70 \cdot \varepsilon$$

$$33.27 < 64.71 \quad \checkmark$$

Donde:

λ_w : Esbeltez del alma.

$$\lambda_w : \underline{33.27}$$

$$\lambda_w = \frac{d}{t_w}$$

$\lambda_{m\acute{a}x}$: Esbeltez máxima.

$$\lambda_{m\acute{a}x} : \underline{64.71}$$

$$\lambda_{m\acute{a}x} = 70 \cdot \varepsilon$$

ε : Factor de reducción.

$$\varepsilon : \underline{0.92}$$

$$\varepsilon = \sqrt{\frac{f_{ref}}{f_y}}$$

Siendo:

f_{ref} : Límite elástico de referencia.

$$f_{ref} : \underline{235.00} \text{ MPa}$$

f_y : Límite elástico. (CTE DB SE-A, Tabla 4.1)

$$f_y : \underline{275.00} \text{ MPa}$$

Resistencia a corte Y (CTE DB SE-A, Artículo 6.2.4)

La comprobación no procede, ya que no hay esfuerzo cortante.

Resistencia a momento flector Y y fuerza cortante Z combinados (CTE DB SE-A, Artículo 6.2.8)

No es necesario reducir la resistencia de cálculo a flexión, ya que el esfuerzo cortante solicitante de cálculo pésimo V_{Ed} no es superior al 50% de la resistencia de cálculo a cortante $V_{c,Rd}$.

$$V_{Ed} \leq \frac{V_{c,Rd}}{2}$$

$$23.19 \text{ kN} \leq 167.04 \text{ kN}$$



Los esfuerzos solicitantes de cálculo pésimos se producen en un punto situado a una distancia de 0.313 m del nudo N75, para la combinación de acciones 1.35·PP+1.35·CM.

V_{Ed} : Esfuerzo cortante solicitante de cálculo pésimo.

$$V_{Ed} : \underline{23.19} \text{ kN}$$

$V_{c,Rd}$: Esfuerzo cortante resistente de cálculo.

$$V_{c,Rd} : \underline{334.07} \text{ kN}$$

Resistencia a momento flector Z y fuerza cortante Y combinados (CTE DB SE-A, Artículo 6.2.8)

No hay interacción entre momento flector y esfuerzo cortante para ninguna combinación. Por lo tanto, la comprobación no procede.

Resistencia a flexión y axil combinados (CTE DB SE-A, Artículo 6.2.8)

Se debe satisfacer:

$$\eta = \frac{N_{c,Ed}}{N_{pl,Rd}} + \frac{M_{y,Ed}}{M_{pl,Rd,y}} + \frac{M_{z,Ed}}{M_{pl,Rd,z}} \leq 1$$

$$\eta : \underline{0.261} \quad \checkmark$$

$$\eta = \frac{N_{c,Ed}}{\chi_y \cdot A \cdot f_{yd}} + k_y \cdot \frac{C_{m,y} \cdot M_{y,Ed}}{\chi_{LT} \cdot W_{pl,y} \cdot f_{yd}} + \alpha_z \cdot k_z \cdot \frac{C_{m,z} \cdot M_{z,Ed}}{W_{pl,z} \cdot f_{yd}} \leq 1$$

$$\eta : \underline{0.545} \quad \checkmark$$

$$\eta = \frac{N_{c,Ed}}{\chi_z \cdot A \cdot f_{yd}} + k_{y,LT} \cdot \frac{M_{y,Ed}}{\chi_{LT} \cdot W_{pl,y} \cdot f_{yd}} + k_z \cdot \frac{C_{m,z} \cdot M_{z,Ed}}{W_{pl,z} \cdot f_{yd}} \leq 1$$

$$\eta : \underline{0.546} \quad \checkmark$$

Los esfuerzos solicitantes de cálculo p^{és}imos se producen en un punto situado a una distancia de 2.500 m del nudo N75, para la combinaci3n de acciones 1.35·PP+1.35·CM+1.5·V(90°)H2.

Donde:

N_{c,Ed}: Axil de compresi3n solicitante de c3lculo p^{és}imo.

$$N_{c,Ed} : \underline{0.07} \text{ kN}$$

M_{y,Ed}, **M_{z,Ed}**: Momentos flectores solicitantes de c3lculo p^{és}imos, seg^un los ejes Y y Z, respectivamente.

$$M_{y,Ed} : \underline{33.13} \text{ kN}\cdot\text{m}$$

$$M_{z,Ed} : \underline{0.00} \text{ kN}\cdot\text{m}$$

Clase: Clase de la secci3n, seg^un la capacidad de deformaci3n y de desarrollo de la resistencia pl3stica de sus elementos planos, para axil y flexi3n simple.

$$\text{Clase} : \underline{1}$$

N_{pl,Rd}: Resistencia a compresi3n de la secci3n bruta.

$$N_{pl,Rd} : \underline{1202.14} \text{ kN}$$

M_{pl,Rd,y}, **M_{pl,Rd,z}**: Resistencia a flexi3n de la secci3n bruta en condiciones pl3sticas, respecto a los ejes Y y Z, respectivamente.

$$M_{pl,Rd,y} : \underline{126.76} \text{ kN}\cdot\text{m}$$

$$M_{pl,Rd,z} : \underline{25.40} \text{ kN}\cdot\text{m}$$

Resistencia a pandeo: (CTE DB SE-A, Art3culo 6.3.4.2)

A: 3rea de la secci3n bruta.

$$A : \underline{45.90} \text{ cm}^2$$

W_{pl,y}, **W_{pl,z}**: M3dulos resistentes pl3sticos correspondientes a la fibra comprimida, alrededor de los ejes Y y Z, respectivamente.

$$W_{pl,y} : \underline{484.00} \text{ cm}^3$$

$$W_{pl,z} : \underline{97.00} \text{ cm}^3$$

f_{yd}: Resistencia de c3lculo del acero.

$$f_{yd} : \underline{261.90} \text{ MPa}$$

$$f_{yd} = f_y / \gamma_{M1}$$

Siendo:

f_y: L3mite el3stico. (CTE DB SE-A, Tabla 4.1)

$$f_y : \underline{275.00} \text{ MPa}$$

γ_{M1}: Coeficiente parcial de seguridad del material.

$$\gamma_{M1} : \underline{1.05}$$

k_y, **k_z**, **k_{y,LT}**: Coeficientes de interacci3n.

$$k_y = 1 + (\bar{\lambda}_y - 0.2) \cdot \frac{N_{c,Ed}}{\chi_y \cdot N_{c,Rd}}$$

$$k_y : \underline{1.00}$$

$$k_z = 1 + (2 \cdot \bar{\lambda}_z - 0.6) \cdot \frac{N_{c,Ed}}{\chi_z \cdot N_{c,Rd}}$$

$$k_z : \underline{1.00}$$

$$k_{y,LT} = 1 - \frac{0.1 \cdot \bar{\lambda}_z}{C_{m,LT} - 0.25} \cdot \frac{N_{c,Ed}}{\chi_z \cdot N_{c,Rd}}$$

$$k_{y,LT} : \underline{1.00}$$

C_{m,y}, **C_{m,z}**, **C_{m,LT}**: Factores de momento flector uniforme equivalente.

$$C_{m,y} : \underline{1.00}$$

$$C_{m,z} : \underline{1.00}$$

$$C_{m,LT} : \underline{1.00}$$

χ_y, **χ_z**: Coeficientes de reducci3n por pandeo, alrededor de los ejes Y y Z, respectivamente.

$$\chi_y : \underline{0.92}$$

$$\chi_z : \underline{0.23}$$

χ_{LT}: Coeficiente de reducci3n por pandeo lateral.

$$\chi_{LT} : \underline{0.48}$$

λ_y, **λ_z**: Esbelteces reducidas con valores no mayores que 1.00, en relaci3n a los ejes Y y Z, respectivamente.

$$\bar{\lambda}_y : \underline{0.51}$$

$$\bar{\lambda}_z : \underline{1.90}$$

α_y, **α_z**: Factores dependientes de la clase de la secci3n.

$$\alpha_y : \underline{0.60}$$

$$\alpha_z : \underline{0.60}$$

Resistencia a flexión, axil y cortante combinados (CTE DB SE-A, Artículo 6.2.8)

No es necesario reducir las resistencias de cálculo a flexión y a axil, ya que se puede ignorar el efecto de abolladura por esfuerzo cortante y, además, el esfuerzo cortante solicitante de cálculo pésimo V_{Ed} es menor o igual que el 50% del esfuerzo cortante resistente de cálculo $V_{c,Rd}$.

Los esfuerzos solicitantes de cálculo pésimos se producen en un punto situado a una distancia de 0.313 m del nudo N75, para la combinación de acciones 1.35·PP+1.35·CM.

$$V_{Ed,z} \leq \frac{V_{c,Rd,z}}{2}$$

$$23.19 \text{ kN} \leq 167.04 \text{ kN}$$



Donde:

$V_{Ed,z}$: Esfuerzo cortante solicitante de cálculo pésimo.

$$V_{Ed,z} : \frac{23.19}{\text{ kN}}$$

$V_{c,Rd,z}$: Esfuerzo cortante resistente de cálculo.

$$V_{c,Rd,z} : \frac{334.07}{\text{ kN}}$$

Resistencia a torsión (CTE DB SE-A, Artículo 6.2.7)

La comprobación no procede, ya que no hay momento torsor.

Resistencia a cortante Z y momento torsor combinados (CTE DB SE-A, Artículo 6.2.8)

No hay interacción entre momento torsor y esfuerzo cortante para ninguna combinación. Por lo tanto, la comprobación no procede.

Resistencia a cortante Y y momento torsor combinados (CTE DB SE-A, Artículo 6.2.8)

No hay interacción entre momento torsor y esfuerzo cortante para ninguna combinación. Por lo tanto, la comprobación no procede.